
符号计算改良的分析化学计算方法 对 NaHA 酸碱度的分析

禩科材
中国科学技术大学 化学物理系

2022 年 3 月 3 日

摘要

两性物质 NaHA 溶液的 PH 计算是分析化学的重要内容。教科书介绍了多种 PH 近似公式，但各公式的适用条件一度缺少详细论证，且目前仍然处于争论之中。本文以 Mathematica 符号计算软件为辅助，发扬了分析化学去公式化计算方法。针对学术界一直头疼的 NaHA 酸碱度计算公式的选择问题，作者利用数学分析方法及可视化手段，深刻揭示了各公式的可行域空间，力求为分析化学师生彻底扫除障碍。

目录

1	引言	2
2	数学准备	3
2.1	可行域	3
2.2	对数变换	5
3	线性近似公式的解析与讨论	5
3.1	作图	5
3.2	讨论	7
4	其他公式	9
4.1	其他可行域	9
4.2	最优近似	9
5	结论	10
6	鸣谢	10
7	部分代码与附图	11

1 引言

二元弱酸 H_2A 的酸式盐 $NaHA$ 为两性物质。在浓度为 c 的 $NaHA$ 溶液中有以下关系：

1. 电荷守恒： $[Na^+] + [H^+] = [HA^-] + 2[A^{2-}] + [OH^-]$
2. 物料守恒： $[Na^+] = [H_2A] + [HA^-] + [A^{2-}]$
3. 一级电离： $K_1 = \frac{[H^+][HA^-]}{[H_2A]}$
4. 二级电离： $K_2 = \frac{[H^+][A^{2-}]}{[HA^-]}$

为了简化计算，引入分析浓度 c (A 的总浓度) 与分布分数 (组分占有 c 的比例)：

$$\begin{aligned} [H_2A] &= c * \frac{[H^+]^2}{[H^+]^2 + [H^+]K_1 + K_1K_2} \\ [HA^-] &= c * \frac{[H^+]K_1}{[H^+]^2 + [H^+]K_1 + K_1K_2} \\ [A^{2-}] &= c * \frac{K_1K_2}{[H^+]^2 + [H^+]K_1 + K_1K_2} \end{aligned}$$

将上述组分浓度代入电荷守恒，得到关于氢离子浓度 $[H^+]$ 的高次多项式方程：

$$c + [H^+] = \frac{[H^+]K_1 + 2K_1K_2}{[H^+]^2 + [H^+]K_1 + K_1K_2} + \frac{K_w}{[H^+]} \quad (1)$$

其中 K_w 为水的离子积常数，此处默认常温下 $K_w = 10^{-14}$ 。对于给定的二元酸式盐 $NaHA$ ，已知两级电离常数 K_1 和 K_2 ，给定浓度 c ，求解上述方程即可得知此时氢离子浓度的准确值 (忽略离子活度)。但由于上述方程求解不便，传统分析化学的处理方法为引入近似条件，将氢离子浓度 $[H^+]$ 化简为显函数形式。以下是经典教科书中给出的四个近似公式及其适用条件：

$$\begin{aligned} [H_{x1}] &= \sqrt{\frac{K_1(c * K_2 + K_w)}{c + K_1}} && c \geq 500K_2 \\ [H_{x2}] &= \sqrt{\frac{K_1(c * K_2)}{c + K_1}} && c \geq 500K_2 \ \&\& \ K_2c \geq 20K_w \\ [H_{x3}] &= \sqrt{K_1K_2} && c \geq 20K_1 \\ [H_{x4}] &= \sqrt{\frac{K_1(c * K_2 + K_w)}{c}} && c \geq 500K_2 \ \&\& \ K_2c \geq 20K_w \end{aligned}$$

传统体系“记忆换运算，近似换简化”的思路同学们都不陌生。然而，这样的近似公式会造成学习上的不便甚至混淆：

1. 一些公式的适用范围存在交集，实际应用中究竟哪一个公式适用区间更普遍？
2. 适用的边界条件究竟如何与物理意义（二级电离、水的电离）相联系？

在计算机高度发达的今天，我们可以很轻易地解诸如 (1) 这样的方程，传统近似手段简化运算的价值正逐渐丧失。并且，如何真正完备地刻画使用公式带来的误差以及它们的适用范围，成为目前去公式化方法和传统体系之间的主要矛盾。为此，本文以 Mathematica 为平台，充分运用数学、计算机手段，讨论近似公式的可行域区间，推动分析化学课程的发展。

2 数学准备

2.1 可行域

由于 $[H^+]$ 、 K_1 、 K_2 、 c 数值非常小，对它们取负对数之后， PH 、 PK_1 、 PK_2 、 Pc 四个变量满足的关系如下：

$$PH_1 = -\log_{10} \sqrt{\frac{10^{-PK_1}(10^{-Pc} * 10^{-PK_2} + Kw)}{10^{-Pc} + 10^{-PK_1}}}$$

$$PH_2 = -\log_{10} \sqrt{\frac{10^{-PK_1}(10^{-Pc} * 10^{-PK_2})}{10^{-Pc} + 10^{-PK_1}}}$$

$$PH_3 = -\log_{10} \sqrt{10^{-PK_1} * 10^{-PK_2}}$$

$$PH_4 = -\log_{10} \sqrt{\frac{10^{-PK_1}(c * 10^{-PK_2} + Kw)}{10^{-Pc}}}$$

引入相空间 $\mathbb{R}^3 = \{ \mathbf{x} = (PK_1, PK_2, Pc) \mid PK_1, PK_2, Pc \in \mathbb{R} \}$ 以描述已知的三个初始条件。如此一来，四大公式可看作 $\mathbb{R}^3 \rightarrow \mathbb{R}, (\mathbf{x} \rightarrow PH)$ 一个映射。

我们的目的，在于找出所有满足“相对准确值误差在 5% 以内”的三维点所构成的集合。由函数的连续性可知，它是一个连通集。以相对氢离子准确值误差 5% 为标准，设 PH 准确值为 $F(\mathbf{x}), \mathbf{x} = (PK_1, PK_2, Pc)$ ，定义误差函数 $\Delta(\mathbf{x}), \mathbf{x} \in \mathbb{R}^3$ 。简单推导可知， $\Delta(\mathbf{x}) = |f_i(\mathbf{x}) - F(\mathbf{x})| \leq 0.02$ 即为所求区域满足的限制条件。我们称不等式的解集为可行域。

Definition: 可行域

称 \mathbb{R}^n 中的一个区域 S^n 为近似公式 f 的可行域, 如果

$$\forall \mathbf{x} = (x_1, x_2, \dots, x_n) \in S^n, |f(\mathbf{x}) - F(\mathbf{x})| \leq 0.02$$

其中 $F(\mathbf{x})$ 为物理量的理论准确值。

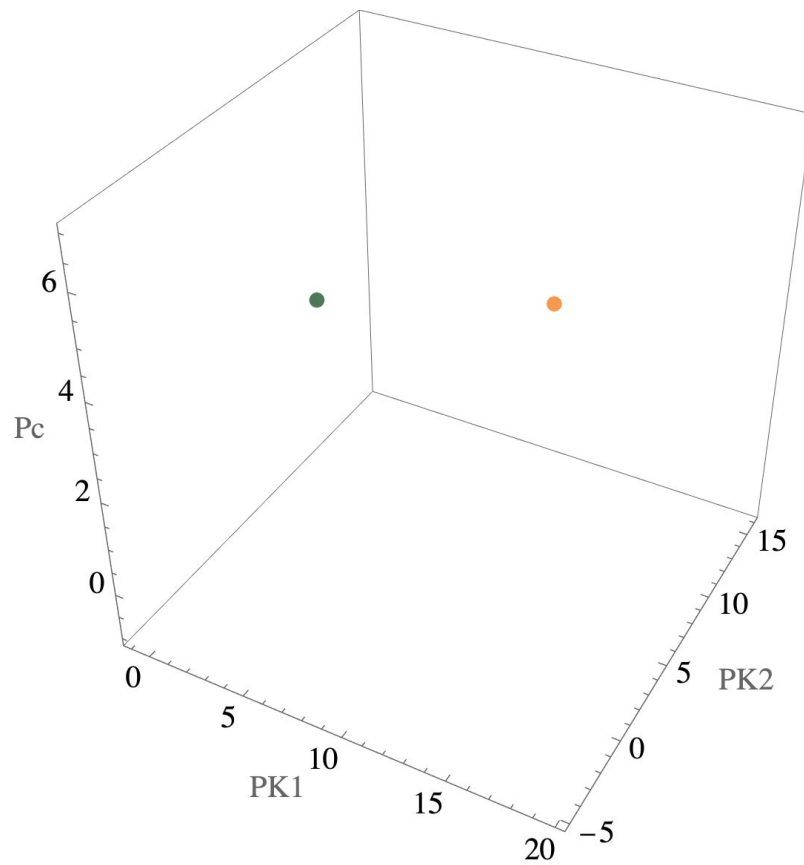


图 1: 相空间中两个点分别对应两个 PH 值

2.2 对数变换

将这一对应关系写作：

$$\begin{aligned} f_1(PK_1, PK_2, Pc) &= -\log_{10} \sqrt{\frac{10^{-PK_1}(10^{-Pc} * 10^{-PK_2} + Kw)}{10^{-Pc} + 10^{-PK_1}}} \\ f_2(PK_1, PK_2, Pc) &= -\log_{10} \sqrt{\frac{10^{-PK_1}(10^{-Pc} * 10^{-PK_2})}{10^{-Pc} + 10^{-PK_1}}} \\ f_3(PK_1, PK_2, Pc) &= -\log_{10} \sqrt{10^{-PK_1} * 10^{-PK_2}} \\ f_4(PK_1, PK_2, Pc) &= -\log_{10} \sqrt{\frac{10^{-PK_1}(10^{-Pc} * 10^{-PK_2} + Kw)}{10^{-Pc}}} \end{aligned}$$

由数学分析知识可知，所有满足条件的点，在相空间中分布于边界曲面的同一侧。对原方程(1)作对数变换：

$$10^{-Pc} + 10^{-PH} = \frac{10^{-PH}10^{-PK_1} + 2 * 10^{-PK_1}10^{-PK_2}}{10^{-2PH} + 10^{-PH}10^{-PK_1} + 10^{-PK_1}10^{-PK_2}} + \frac{Kw}{10^{-PH}} \quad (2)$$

几乎无法表示为 PH 关于 PK_1 、 PK_2 、 Pc 的显函数，误差函数 $\Delta(\mathbf{x})$ 难于推导。故退而寻求数值解。

3 线性近似公式的解析与讨论

3.1 作图

公式 $[H_{x3}]$ 经对数变换后的形式较为简单—— PH 关于 PK_1 和 PK_2 具有线性性质，在新的相空间 $\mathbb{R}^3 = \{ \mathbf{y} = (PK_1, PK_2, PH) \mid PK_1, PK_2, PH \in R \}$ 中的图像是一张平面：

$$PH = \frac{1}{2}PK_1 + \frac{1}{2}PK_2$$

在相空间 $\mathbb{R}^3 = \{ \mathbf{y} = (PK_1, PK_2, PH) \mid PK_1, PK_2, PH \in R \}$ 中，满足与精确酸度方程(2)误差 0.02 的两张曲面分别是：

$$10^{-Pc} + 10^{-(PH-0.02)} = \frac{10^{-(PH-0.02)}10^{-PK_1} + 2 * 10^{-PK_1}10^{-PK_2}}{10^{-2(PH-0.02)} + 10^{-(PH-0.02)}10^{-PK_1} + 10^{-PK_1}10^{-PK_2}} + \frac{K_w}{10^{-(PH-0.02)}} \quad (3)$$

$$10^{-Pc} + 10^{-(PH+0.02)} = \frac{10^{-(PH+0.02)}10^{-PK_1} + 2 * 10^{-PK_1}10^{-PK_2}}{10^{-2(PH+0.02)} + 10^{-(PH+0.02)}10^{-PK_1} + 10^{-PK_1}10^{-PK_2}} + \frac{K_w}{10^{-(PH+0.02)}} \quad (4)$$

与 $PH = \frac{1}{2}PK_1 + \frac{1}{2}PK_2$ 联立消去 PH ，即得 \mathbb{R}^3 中关于 (PK_1, PK_2, Pc) 的方程

$$10^{-Pc} + 10^{-\left(\frac{1}{2}PK_1 + \frac{1}{2}PK_2 - 0.02\right)} = \frac{10^{-\left(\frac{1}{2}PK_1 + \frac{1}{2}PK_2 - 0.02\right)}10^{-PK_1} + 2 * 10^{-PK_1}10^{-PK_2}}{10^{-2\left(\frac{1}{2}PK_1 + \frac{1}{2}PK_2 - 0.02\right)} + 10^{-\left(\frac{1}{2}PK_1 + \frac{1}{2}PK_2 - 0.02\right)}10^{-PK_1} + 10^{-PK_1}10^{-PK_2}} + \frac{K_w}{10^{-\left(\frac{1}{2}PK_1 + \frac{1}{2}PK_2 - 0.02\right)}}$$

$$10^{-Pc} + 10^{-\left(\frac{1}{2}PK_1 + \frac{1}{2}PK_2 + 0.02\right)} = \frac{10^{-\left(\frac{1}{2}PK_1 + \frac{1}{2}PK_2 + 0.02\right)}10^{-PK_1} + 2 * 10^{-PK_1}10^{-PK_2}}{10^{-2\left(\frac{1}{2}PK_1 + \frac{1}{2}PK_2 + 0.02\right)} + 10^{-\left(\frac{1}{2}PK_1 + \frac{1}{2}PK_2 + 0.02\right)}10^{-PK_1} + 10^{-PK_1}10^{-PK_2}} + \frac{K_w}{10^{-\left(\frac{1}{2}PK_1 + \frac{1}{2}PK_2 + 0.02\right)}}$$

对应的曲面即是可行域的边界。分别记作 $\sup(\mathbf{x})$ 和 $\inf(\mathbf{x})$ ，作图如下：

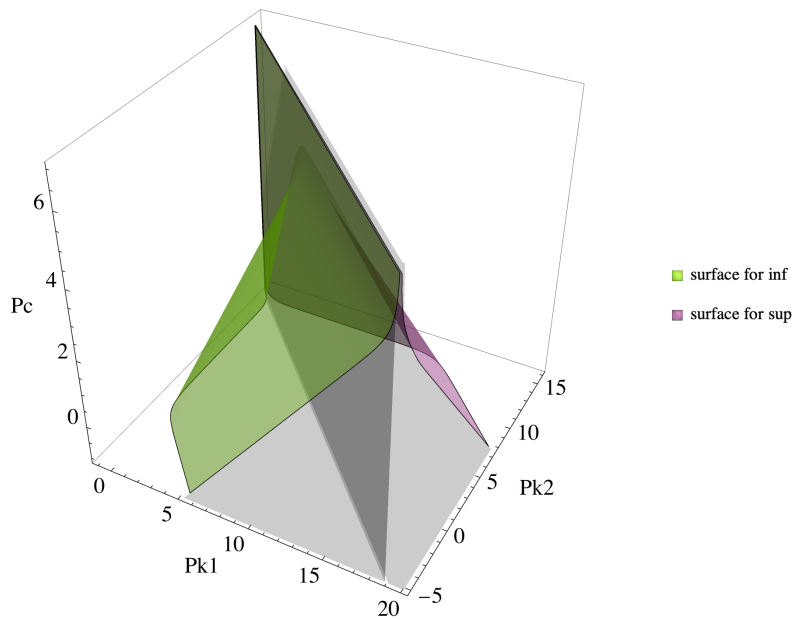


图 2: 可行域

可行域就是图中的阴影区域。

3.2 讨论

公式 f_3 的秘密已经一览无余。比如固定 $Pc = 2$, 误差函数

$$\Delta(PK_1, PK_2, 2) = |f_3(PK_1, PK_2, 2) - F(PK_1, PK_2, 2)|$$

的解为 \mathbb{R}^2 的子集, 是可行域在 $Pc = 2$ 处的截面:

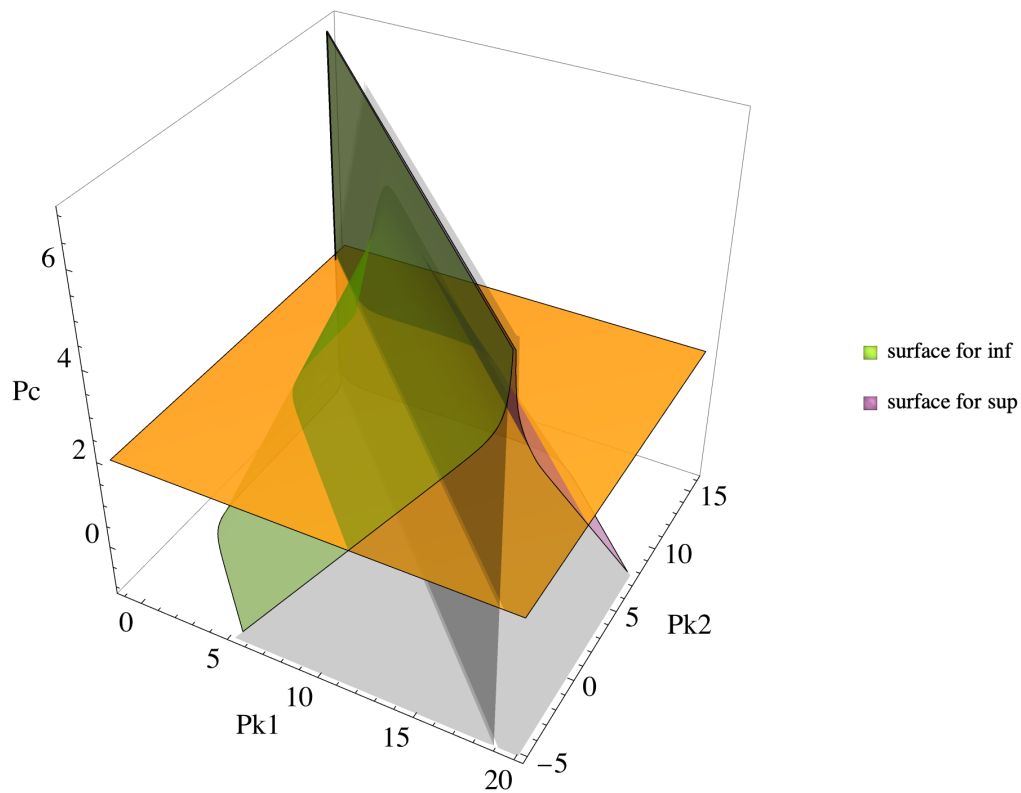


图 3: 可行域的截面

又如, 对公式的适用条件

$$c \geq 500K_2 \quad \text{condition 1}$$

$$c \geq 500K_2 \ \&\& \ K_2c \geq 20K_w \quad \text{condition 2}$$

$$c \geq 20K_1 \quad \text{condition 3}$$

作对数变换得

$$Pc \leq \log(500)PK_2 \quad \text{condition 1}$$

$$Pc + PK_2 \leq \log(20)K_w \quad \text{condition 2}$$

$$Pc \leq \log(20)PK_1 \quad \text{condition 3}$$

可见变换后的结果都描述了相空间 $\mathbb{R}^3 = \{ \boldsymbol{x} = (PK_1, PK_2, Pc) \mid PK_1, PK_2, Pc \in \mathbb{R} \}$ 中一个以平面为边界的区域。将它们和完整的可行域放在一起考虑：

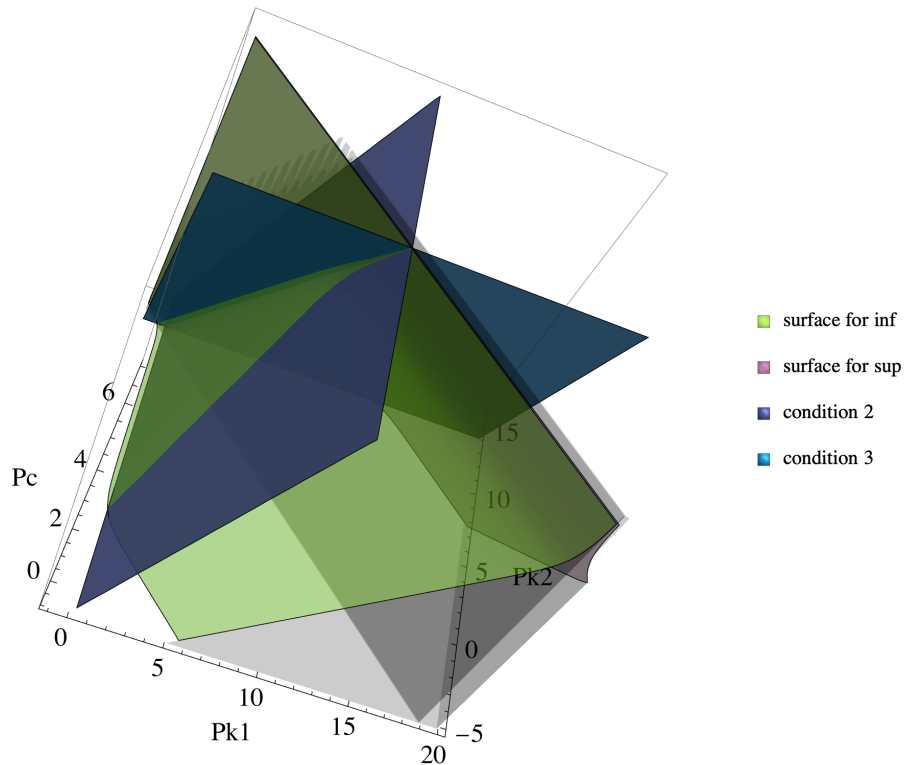


图 4: 可行域与传统适用条件

可见这些限制都具有一定的局限性。现今对于传统条件中 20、500 等位置的常数更准确的研究即可简化为：[寻找可行域边界曲面的最优二元线性拟合函数](#)——在本文提出完整可行域(图2)之后便可迎刃而解。在此，作者建议用 10.365 来替代条件 $Pc + PK_2 \geq \log(20)K_w$ 中原本“20”的位置。

代码附于文末，读者可自行尝试。

4 其他公式

4.1 其他可行域

不难从以上步骤总结出研究计算可行域的一般方法：对数变换 \Rightarrow 刻画误差 \Rightarrow 消去 $PH \Rightarrow$ 作图。如法炮制，易得四大公式可行域的边界如下：

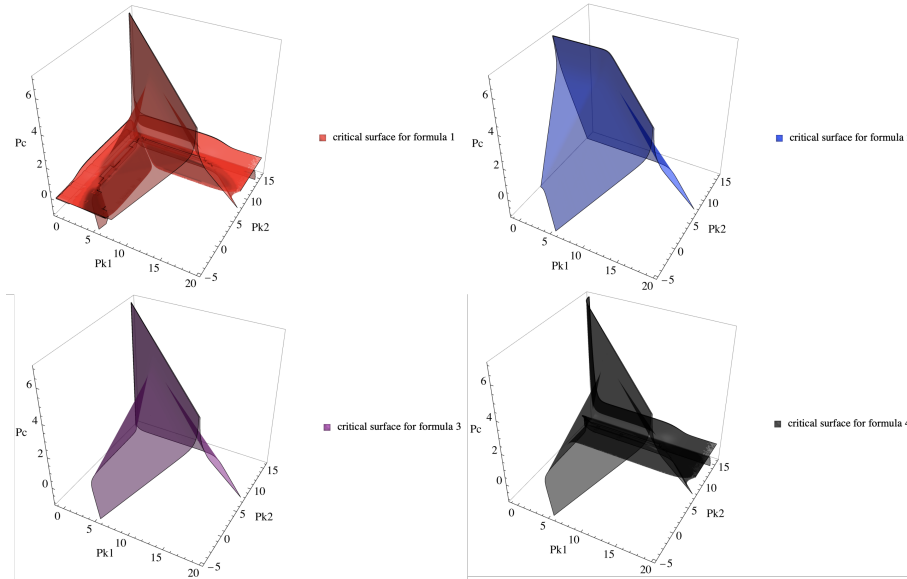


图 5: 四大近似公式的可行域

结合公式 f_3 的经验以及可行域的实际物理意义，读者不难判断可行域的位置。可以发现，在分析浓度小于 10^{-6} 的区间，四大公式基本完全失效。

4.2 最优近似

由于计算能力的不足，前人对于“哪一个公式在给定误差下的可行域最广？”的问题难以给出明确的回答。然而在计算系统高度发达的当下，找出这一最优公式已是易如反掌。我们借助可视化手段，将四大公式的可行域边界分别重叠(图8)，可见公式

$$[H]_{x_2} = \sqrt{\frac{K_1(c * K_2)}{c + K_1}}$$

对应的可行域最为宽广。在误差不大于5%的标准下的优越性一目了然。

5 结论

本文以相对精确结果 $[H^+]$ 偏差5%为标准,使用数学方法和计算机手段,引入描述已知条件的 \mathbb{R}^3 相空间,深刻揭示了 NaHA 酸碱度四大近似公式的可行域。希望能为分析化学师生彻底扫除认知障碍。

对于具体公式的选择问题上,基于可行域空间最宽广的原则,公式

$$[H] = \sqrt{\frac{K_1(c * K_2)}{c + K_1}}$$

是其中最优。虽然其他公式有一定的物理意义,但实际效果并不大,剔除之无大碍。

对于形如 Na_mH_nA 的更多元酸式盐,已知条件是 $m+n+1$ 维向量 (PK_1, \dots, PK_n, Pc) ,可行域的边界曲面将在高维空间中展开。本文的方法虽然在原则上仍然适用,但略显复杂,需要更多的线性代数知识来辅助处理。如果过程过于复杂,可以参考 EDTA 配位滴定金属离子的处理方式,引入“表观浓度”以简化运算。

交流电和生物电是两种不同的资源,它们应当各得其所。用计算机手段求解化学平衡问题,一定是分析化学课程教学改革的发展方向。

6 鸣谢

本文写作得到了中国科学技术大学化学系邵利民副教授的鼎力支持。

面对一些困难,刘毅凡同学为作者提供了很多帮助和鼓励。

此外还有来自四面八方的建议,在此一并感谢!

7 部分代码与附图

$c = 0.1$ 下的精确 PH :

```

1      c = 0.1;
2      accurate =
3      ContourPlot3D[
4      c + 10^-PH == kw/10^-PH + c ((10^-PH*10^-Pk1 + 2*10^-Pk1*10^-Pk2)/
5      (10^(-2 PH) + 10^-PH*10^-Pk1 + 10^-Pk1*10^-Pk2)), {Pk1, 0, 20},
6      {Pk2, 0, 20}, {PH, 0, 14}, PlotTheme -> "Scientific", AxesLabel ->
7      Automatic, AxesStyle -> Directive[14], PlotLegends -> {"accurate PH"},
8      PlotRange -> Full]

```

特定浓度可行域:

```

1      c = 0.1;
2      cp3sup =
3      Table[{FindRoot[{c + 10^-(PH - 0.02) ==
4      kw/10^-(PH - 0.02) + c ((10^-(PH - 0.02)*10^-Pk1 + 2*10^-Pk1*10^-Pk2)/
5      10^(-2 (PH - 0.02)) + 10^-(PH - 0.02)*10^-Pk1 + 10^-Pk1*10^-Pk2)),
6      PH == 1/2 Pk1 + 1/2 Pk2, Pk2 == a}, {Pk1, 20}, {Pk2, a}, {PH, 20},
7      WorkingPrecision -> MachinePrecision][[1, 2]], a}, {a, 0, 14, 0.05}];
8
9      cp3supline =
10     ListLinePlot [cp3sup, PlotTheme -> "Detailed", PlotStyle -> Orange,
11     FrameLabel -> {{HoldForm[Pk2], None}, {HoldForm[Pk1], None}},
12     PlotLabel -> HoldForm[c = 0.1 M时公式 Subscript[H, x3] 的可行域],
13     LabelStyle -> {15, GrayLevel[0]};
14

```

```

15     cp3inf =
16     Table[{FindRoot[{c + 10^-(PH + 0.02) ==
17     kw/10^-(PH + 0.02) + c ((10^-(PH + 0.02)*10^-Pk1 + 2*10^-Pk1*10^-Pk2)/(
18     10^(-2 (PH + 0.02)) + 10^-(PH + 0.02)*10^-Pk1 + 10^-Pk1*10^-Pk2)),
19     PH == 1/2 Pk1 + 1/2 Pk2, Pk2 == a}, {Pk1, 20}, {Pk2, a}, {PH, 20},
20     WorkingPrecision -> MachinePrecision][[1, 2]], a}, {a, 0, 14, 0.05}];
21
22     cp3inffline =
23     ListLinePlot [cp3inf, PlotTheme -> "Detailed", PlotStyle -> Orange,
24     FrameLabel -> {{HoldForm[Pk2], None}, {HoldForm[Pk1], None}},
25     PlotLabel -> HoldForm[c = 0.1 M时公式 Subscript[H, x3] 的可行域],
26     LabelStyle -> {15, GrayLevel[0]};
27
28     Show[cp3supline, cp3inffline,
29     Graphics[{Thick, Dashed, Orange, Line[{cp3inf[[1]], cp3sup [[1]]}],
30     AspectRatio -> 1]

```

完整可行域:

```

1     cp3inffsurface =
2     ContourPlot3D[
3     10^-Pc + 10^-(1/2 Pk1 + 1/2 Pk2 + 0.02) == kw/10^-(1/2 Pk1 + 1/2 Pk2
4     + 0.02) + 10^-Pc*((10^-(1/2 Pk1 + 1/2 Pk2 + 0.02)*10^-Pk1 +
5     2*10^-Pk1*10^-Pk2)/(10^(-2 (1/2 Pk1 + 1/2 Pk2 + 0.02)) +
6     10^-(1/2 Pk1 + 1/2 Pk2 + 0.02)*10^-Pk1 +
7     10^-Pk1*10^-Pk2)), {Pk1, -1, 20}, {Pk2, -5, 16}, {Pc, -1, 7},
8     ContourStyle -> {RGBColor[0.5355579515419151, 0.9430131641554946,
9     0.004882822085237493], Opacity[0.5]}, ImageSize -> {500, 500},

```

```

10     AxesLabel -> Automatic, AxesStyle -> Directive[Black, 17],
11     PlotLegends -> {"surface for inf "}, PlotRange -> Full,
12     PlotTheme -> "Scientific", Mesh -> None];
13
14     cp3supersurface =
15     ContourPlot3D[
16     10^-Pc + 10^-(1/2 Pk1 + 1/2 Pk2 - 0.02) ==
17     kw/10^-(1/2 Pk1 + 1/2 Pk2 - 0.02) +
18     10^-Pc*((10^-(1/2 Pk1 + 1/2 Pk2 - 0.02)*10^-Pk1 + 2*10^-Pk1*10^-Pk2)/
19     (10^-2 (1/2 Pk1 + 1/2 Pk2 - 0.02)) + 10^-(1/2 Pk1 + 1/2 Pk2 - 0.02)
20     *10^-Pk1 + 10^-Pk1*10^-Pk2)), {Pk1, -1, 20}, {Pk2, -5, 16}, {Pc, -1, 7},
21     ContourStyle -> {RGBColor[0.5864078175768783, 0.26359194937432395',
22     0.519486597936422], Opacity[0.5]}, ImageSize -> {500, 500},
23     AxesLabel -> Automatic, AxesStyle -> Directive[Black, 17],
24     PlotLegends -> {"surface for sup"}, PlotRange -> Full,
25     PlotTheme -> "Scientific", Mesh -> None];
26
27     shadow3inf =
28     Plot3D[-Log10[(kw/10^-(1/2 Pk1 + 1/2 Pk2 + 0.02) -
29     10^-(1/2 Pk1 + 1/2 Pk2 + 0.02))/(1 - ((10^-(1/2 Pk1 + 1/2
30     Pk2 + 0.02)*10^-Pk1 + 2*10^-Pk1*10^-Pk2)/(10^-2 (1/2 Pk1 + 1/2 Pk2 + 0.02))
31     + 10^-(1/2 Pk1 + 1/2 Pk2 + 0.02)*10^-Pk1 +
32     10^-Pk1*10^-Pk2))]), {Pk1, -1, 20}, {Pk2, -5, 16},
33     PlotStyle -> Directive[RGBColor[0.5355579515419151, 0.9430131641554946,
34     0.004882822085237493], Opacity[0]], Filling -> Bottom, Mesh -> None,
35     BoundaryStyle -> None];

```

```
36
37     shadow3sup =
38     Plot3D[-Log10[(kw/10^-(1/2 Pk1 + 1/2 Pk2 - 0.02) -
39     10^-(1/2 Pk1 + 1/2 Pk2 - 0.02))/(1 - ((10^-(1/2 Pk1 + 1/2 Pk2 - 0.02)
40     *10^-Pk1 + 2*10^-Pk1*10^-Pk2)/(
41     10^(-2 (1/2 Pk1 + 1/2 Pk2 - 0.02)) +
42     10^-(1/2 Pk1 + 1/2 Pk2 - 0.02)*10^-Pk1 +
43     10^-Pk1*10^-Pk2)))]], {Pk1, -1, 20}, {Pk2, -5, 16},
44     PlotStyle -> Directive[RGBColor[0.5864078175768783, 0.26359194937432395',
45     0.519486597936422], Opacity[0]], Filling -> Bottom, Mesh -> None,
46     BoundaryStyle -> None];
47
48     Show[cp3infsurface, cp3supsurface, shadow3inf, shadow3sup]
```

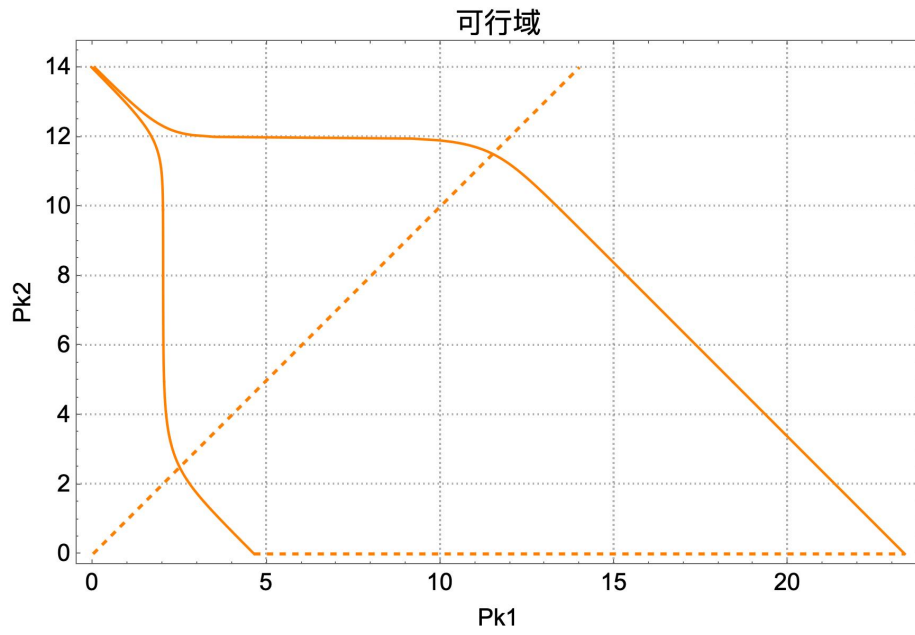


图 6: PH = 2 时可行域截面

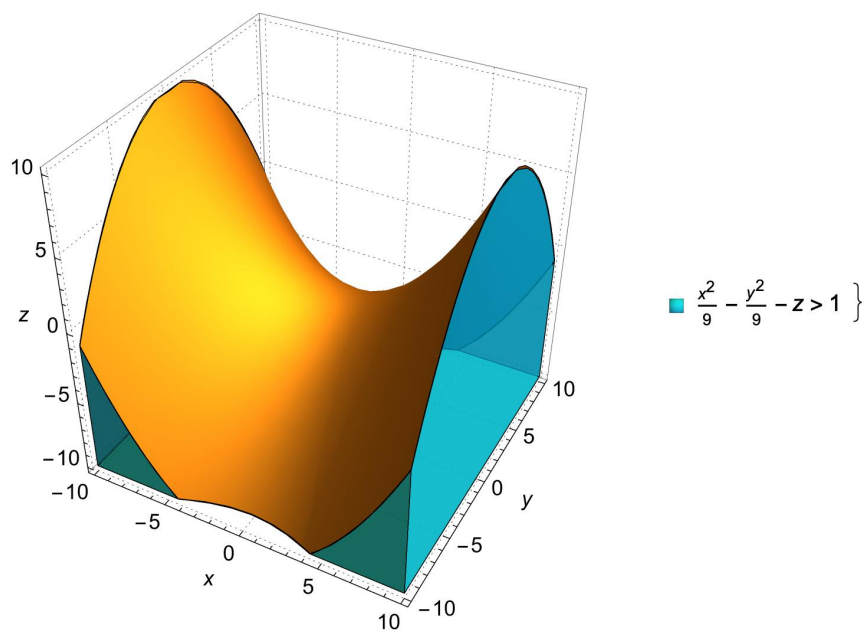
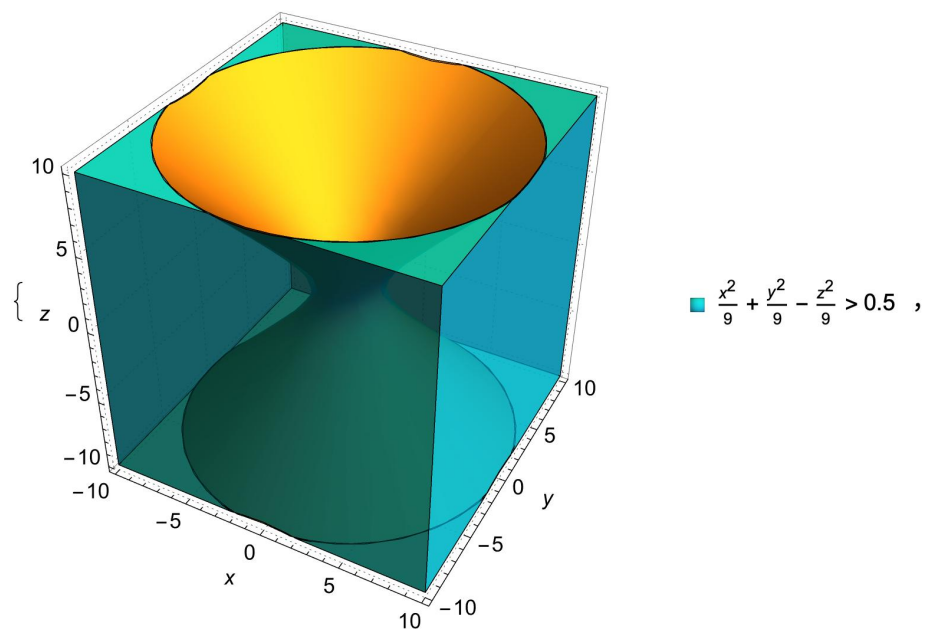


图 7: 以单叶抛物面和马鞍面为边界的区域

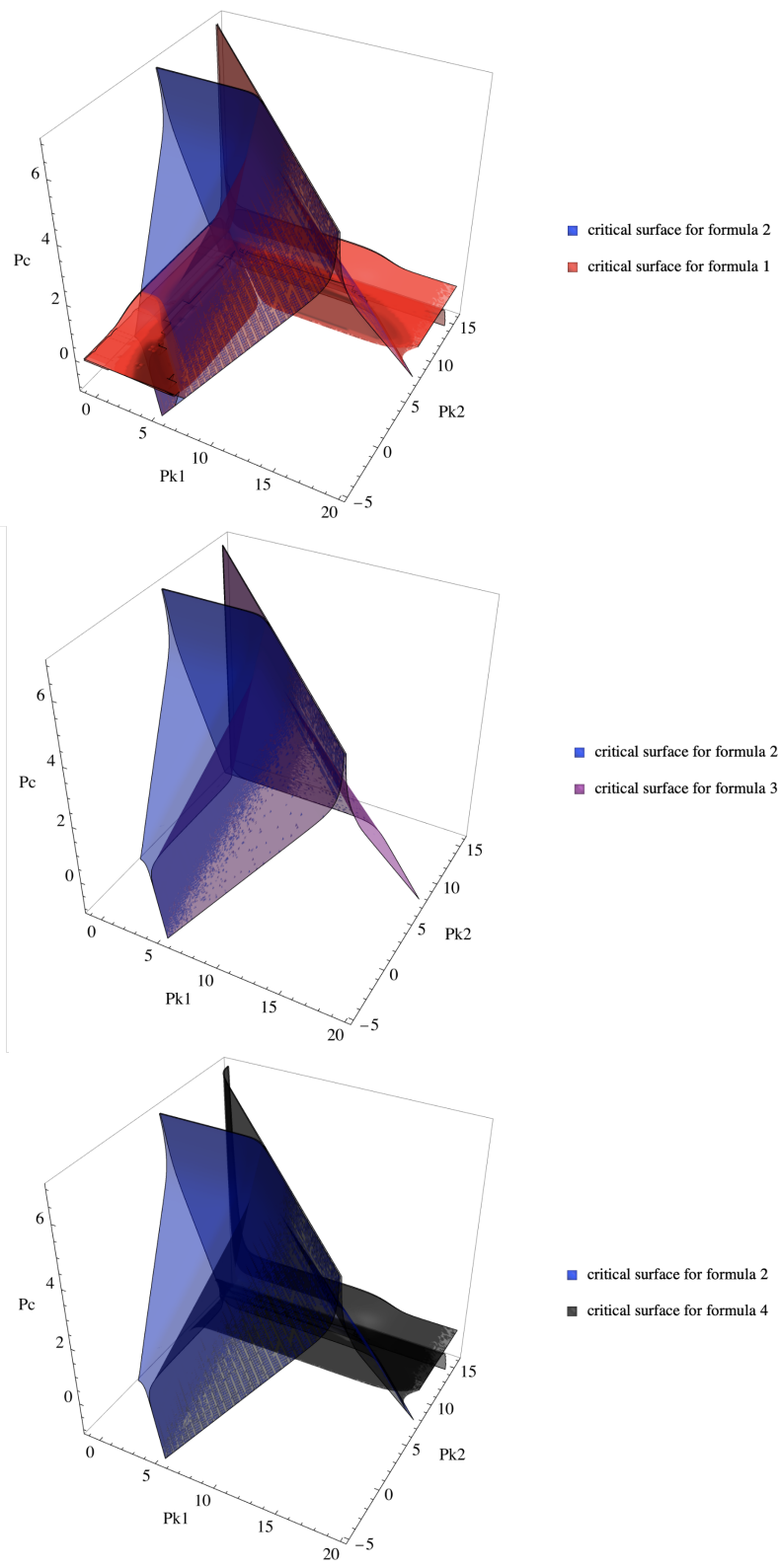


图 8: 可行域分别重叠